

えられるものと思われる。

**5. 鋪装厚の検討.** 特定の地點 (No. 3) を除き路盤係数は  $15 \text{ kg/cm}^3$  以上で、最も實用的な Arlington 公式より、現在施工厚 20 cm で充分安全である。

**6. 結語:** 今回の試験は當局としては始めてであるので不備な所もあり、特に載荷板の大きさの影響、荷重繰返しの影響、転圧効果について不充分なので、今後も實験を續行する豫定である。

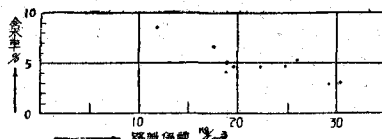


図-4

## 112. 泥炭基盤上の振動波の諸性質について

正員 北海道大學工學部 板 倉 忠 三

1. 概説. 北海道に特有な軟弱地盤たる泥炭地の鋪装基盤としての支持力判定の1方法として、落錘による表面振動波の諸性質について述べんとするものであつて、江別町美原及び石狩町生振の2地帶において基盤改良とともに行つた研究の一部である。

### (1) 泥炭の物理的諸性質

泥炭地種別	比重		含水率(%)		實體容積 (%)	乾燥收縮率 (%)	堅密彈性係 數 (kg/cm²)	靜荷重沈下係數 (kg/cm³)		備 考
	真	見掛け	重量比	容積比				第1回 載荷	繰返載荷	
モハラ 江別町美原	1.454	1.014	95.3	97.2	2.3	67.8	1.1	0.03	0.05	高低泥炭深 6m 浮動性底土 4m
オヤフル 石狩町生振	1.451	0.986	89.2	88.5	7.3	78.2	4.6	0.23	0.32	中位泥炭深 2.50 m

但し 沈下係數は載荷板  $60 \times 60 \text{ cm}$ ,  $100 \times 100 \text{ cm}$  による値。

(2) 振動計 Cambridge Vibrograph, 幾何倍率 10, 自己振動週期 0.6 秒, 時刻記録 0.2 秒, ロールフィルム上に針で振動波形及び時刻を刻み、顯微鏡によりあるいは引伸し寫真上で讀む。

### (3) 落錘の種類、落高及び振動記録地點

落錘重量 (kg)	落 下 高 (m)	落錘點より振動計 迄 の 距 離 (m)	個所数	場 所	衝 撃 面 積 (cm²)	基 盤 の 種 類
225	0.50 1.50	1.00 2.00	3, 5, 7, 9	2	美原	$20 \times 20 = 400$
56.1	0.50 1.00	0.70 1.00	3, 5, 7, 9	3	美原	$40 \times 40 = 1,600$ $60 \times 60 = 3,600$
41.5	0.25 1.00	0.50 1.25	0.75 1, 3, 5, 7, 9	12	生振	$20 \times 20 = 400$

測定は各個所、各落下高、各距離につき 3 回行い、その記録の平均を取る。

### 2. 衝撃面積 $A$ (cm²) と全振幅 $F$ (mm) との関係 (美原).

$$F = K \sqrt[3]{A}, \quad K = 4.44 \sim 4.64 \text{ 平均 } 4.56 \quad (1)$$

### 3. 落錘活力 $E$ (kg·m) と振幅 $F$ (mm) との関係

$$F = \alpha + \beta E \quad \alpha, \beta = \text{常数} \quad (2)$$

### 4. 落錘點よりの距離 $x$ (m) と振幅 $F$ (mm) との関係.

$$\left. \begin{aligned} \alpha &= \alpha_0 e^{-\mu x^{1/2}}, & \beta &= \beta_0 x^{-\mu' x^{1/2}} \\ \text{または} \\ \alpha &= \alpha_0 x^{-\mu x}, & \beta &= \beta_0 x^{-\mu' x} \end{aligned} \right\} \quad \alpha_0, \beta_0, \mu, \mu' = \text{常数} \quad (3)$$

### 5. 単位振幅落錘活力 $E_0$ (ton-m/mm)

$$\left. \begin{aligned} E_o &= \frac{1}{\beta} (1-\alpha) \\ &= \xi e^{\eta x^{1/2}} \\ \text{または } &= \xi e^{\eta x} \quad \xi, \eta = \text{常数} \end{aligned} \right\} \quad (4)$$

6. 単位振幅落錐活力  $E_o$  (ton-m/mm) と静荷重試験による沈下係数  $K$  (kg/cm<sup>3</sup>) との関係

$$K = \gamma + \delta E_o \quad \gamma, \delta = \text{常数} \quad (5)$$

7. 単位振幅落錐活力  $E_o$  (ton-m/mm) と貫入指數  $y$  (cm) との関係

$$\left. \begin{aligned} E_o &= 0.010 + 1.062 \frac{1}{y} \\ \text{または } &y = \frac{1.062}{E_o - 0.010} \end{aligned} \right\} \quad (6)$$

8. 泥炭振動波の減衰と沈下係数との関係

振動方程式  $\frac{d^2 F}{dt^2} + 2\varepsilon \frac{dF}{dt} + n^2 F = 0$

$F$ =振幅,  $t$ =時間 より

振幅減衰比  $v = \frac{|Fn|}{|Fn+1|} = \exp\left(\frac{\pi h}{\sqrt{1-h^2}}\right)$   
 $h = \frac{\varepsilon}{n}$

振動周期  $T = \frac{2\pi}{\sqrt{n^2 - \varepsilon^2}}$  において

$$\left. \begin{aligned} K &= 0.025 n - 0.254, \quad n = 22.26 \quad x = 3m \\ &= 0.023 n - 0.244, \quad n = 23.11 \quad x = 5m \end{aligned} \right\} \quad (7)$$

9. 結説。本研究は軟弱地盤中でも極めて特殊な泥炭について行つたものであるが、種々の問題を包含しており、動荷重を受ける舗装基盤及び舗装體の耐荷試験の静荷重試験よりも動荷重試験の合理的なことは容易に肯かれる所であつて、目下鐵道路盤及び道路路床について研究中である。又本研究は北海道土木部の援助に負う所が多い。

### 113. 軌條の衝撃應力に関する實驗的研究 (20分)

正員 京都大學工學部 小林 勇  
 准員 同 ○後藤 尚男  
 准員 同 三輪 利英

先に研究した電氣抵抗の變化を利用したいわゆる電氣抵抗線査計を用いて、實際に現地で走行車輛による軌條應力を測定し、特に速度一應力に關する衝撃實驗式を提案しようというのが本題の要旨である。

1. 測定方法。軌條の應力を測定するにはまず第1に取付け計器の慣性が極度に小なること及び局部應力を測定しうるような装置であることが要求される。こうしたことから圖-1の測定装置を用いたが、この場合測定の感度並びに精度が問題となる。我々は圖-1, 2 のホイートストン橋の電氣回路を詳細に吟味して査計を改良した結果、前回<sup>1)</sup>に比して相當感度を上げることができた。いま圖-1において軌條に荷重が作用して軌條が歪み、そのため査計の抵抗線の電氣抵抗  $x$  が  $d_x$

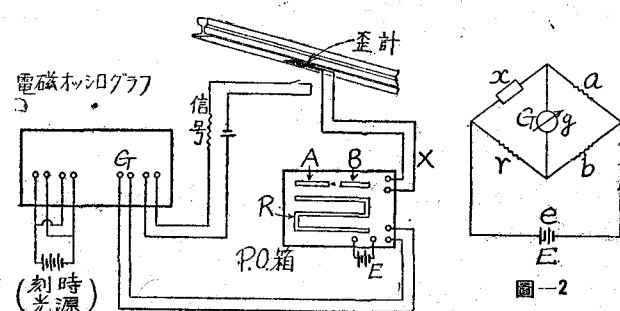


圖-1